



دانشکده مهندسی عمران

پایان نامه کارشناسی ارشد  
گرایش سازه

عنوان

مطالعه پارامترهای موثر بر منحنی لنگر-دوران و تعیین میزان صلبیت  
اتصال pinfuse

نگارش  
رسول رضایی

استاد راهنما  
دکتر مرتضی نقی پور

استاد مشاور  
دکتر جواد واثقی امیری

## چکیده

پس از وقوع زلزله نرتیج (Northridge) در ۱۷ زانویه سال ۱۹۹۴ قاب‌های خمشی بسیاری از ناحیه اتصال دچار شکست ترد (Brittle fracture) شدند. این زلزله باعث ویرایش مجدد آیین‌نامه‌های طراحی لرزه‌ای سازه‌های فلزی شد. برای تأمین شکل‌پذیری و جلوگیری از ایجاد شکست ترد در اتصالات، تغییرات زیادی در نحوه اجرای اتصالات سازه‌ای فولادی پیشنهاد گردید.

اتصال pinfuse اشکالات اتصالات قبل از زلزله نرتیج را نداشت و می‌تواند گزینه مناسبی برای پذیرش آیین‌نامه‌ها باشد. این اتصال با استفاده از پیچ و سوراخ‌های لوبيایی شکل‌پذیری لازم را برای اتصال تأمین می‌کند و مانع از ایجاد تنש‌های بحرانی در ناحیه اتصال بال تیر به ستون می‌شود. در اتصالات پیچی مودهای گسیختگی غیر شکل‌پذیر شامل: گسیختگی پیچ تحت برش، کشش یا ترکیب آنها، گسیختگی فولاد بین سوراخ‌ها و کمانش موضعی شدید می‌باشد در حالیکه مودهای گسیختگی که شکل‌پذیر تلقی می‌شود عبارتند از لغزش اصطکاکی محدود و کنترل شده، تسلیم فولاد و کمانش موضعی کوچک، بنابراین باید تلاش کنیم رفتار سازه را به سمت مودهای گسیختگی شکل‌پذیر سوق دهیم. یکی از این روش‌های ساده، کارا و اقتصادی در این زمینه استفاده از سوراخ‌های لوبيایی در وسائل اتصال تیر به ستون (اعم از ورق، نبشی، سپری و...) است. اگر تحت بار سرویس لغزش رخ دهد ممکن است قابلیت بهره برداری سازه دچار مشکل شود و در المان‌های غیر سازه‌ای ترد، ترک ایجاد کند. به هر حال اگر لغزش تحت شرایط کنترل شده در طول زلزله رخ دهد در بسیاری از موارد باعث بهبود عملکرد لرزه‌ای می‌شود. در این تحقیق، براساس نتایج آنالیز به روش اجزای محدود که با استفاده از برنامه ABAQUS 6.11 انجام گرفته است، منحنی لنگر دوران، مقادیر درجه گیرداری و همچنین نحوه تغییر شکل و توزیع تنش در اجزای اتصال، برای ۱۴ مدل مختلف مورد بررسی قرار می‌گیرد.

نتایج نشان می‌دهد که این اتصال می‌تواند تا دوران‌هایی تا  $40^\circ/\text{رادیان}$  تیر و ستون را در حالت الاستیک نگه دارد و شکل‌پذیری لازم را تأمین کند. همچنین نتایج نشان می‌دهد که نیروی پیش‌تنیدگی تاثیر کمی در نیروی لغزش دارد.

کلمات کلیدی: اتصال pinfuse، اتصال تیر به ستون، منحنی لنگر- دوران

## صفحه

## فهرست عناوین

<b>۱</b>	<b>فصل اول مقدمه</b>
۲	۱.۱ مقدمه
۳	۲.۱ قابهای مقاوم خمشی فولادی
۴	۳.۱ اتصال مقاوم خمشی رایج قبل از زلزله نژدی ۱۹۹۴
۴	۴.۱ آسیبهای ایجاد شده در اتصالات گیردار زلزله نژدی
۵	۱.۴.۱ آسیبهای تیر
۵	۲.۴.۱ آسیبهای ستون
۶	۳.۴.۱ آسیبهای مربوط به جوش شیاری و چشمۀ اتصال
۹	۵.۱ علل وقوع شکست در اتصالات خمشی رایج، قبل از زلزله نژدی
۱۱	۶.۱ راحل
۱۳	۷.۱ روش تحقیق
۱۴	۸.۱ اهداف تحقیق
۱۴	۹.۱ فرضیات پژوهش
<b>۱۵</b>	<b>فصل دوم کلیاتی در مورد اتصالات</b>
۱۶	۱.۲ طبقه‌بندی قابهای ساختمانی
۱۷	۲.۲ اتصالات تیر به ستون در ساختمانهای فولادی
۱۷	۱.۲.۲ اتصال صلب تیر به ستون
۲۱	۲.۲.۲ اتصال مفصلی تیر به ستون (اتصال ساده)
۲۳	۳.۲.۲ اتصال نیمه صلب تیر به ستون
۲۶	۳.۲ طبقه‌بندی اتصالات بر اساس مقاومت
۲۸	۴.۲ مفهوم درجه گیرداری اتصال
۳۱	۵.۲ منحنی لنگر - دوران ( $M-\theta$ ) اتصالات
۳۴	۶.۲ مفهوم خط تیر
۴۰	۷.۲ اتصالات پیچی
۴۰	۱.۷.۲ انواع پیچ‌ها
۴۰	۱.۱.۷.۲ پیچ‌های معمولی
۴۱	۲.۱.۷.۲ پیچ‌های پر مقاومت
۴۲	۲.۷.۲ اتصالات انتکایی
۴۲	۳.۷.۲ اتصالات اصطکاکی
۴۳	۴.۷.۲ الزامات طراحی
۴۵	۵.۷.۲ مشخصات و فواید سوراخ‌ها در اتصالات پیچی

۴۸	۶.۷.۲ مقاومت کششی طراحی و برشی طراحی در اتصالات اصطکاکی
۴۹	۷.۷.۲ اثر مشترک کشش و برش در اتصالات اصطکاکی
۵۰	۸.۲ تاریخچه مطالعات انجام شده
۵۰	۱.۸.۲ به کارگیری اتصالات پیچی لغزنه گیردار در مهاربندهای هم محور
۵۱	۲.۸.۲ اتصال لغزنه دوار
۵۱	۹.۲ اتصال pin fuse
۵۴	<b>۳ فصل سوم معرفی مدلها و نحوه مدلسازی</b>
۵۵	۱.۳ معرفی قابلیتهای نرم افزار ABAQUS
۵۹	۲.۳ مراحل شبیه سازی
۵۹	۱.۲.۳ اجزای پنجره اصلی برنامه ABAQUSE/CAE
۶۰	۲.۲.۳ ایجاد مدل هندسی (ماژول part)
۶۲	۳.۲.۳ تعیین خواص ماده (ماژول Property)
۶۳	۴.۲.۳ مونتاژ قطعات (ماژول Assembly)
۶۳	۵.۲.۳ گامهای تحلیل (ماژول Step)
۶۳	۶.۲.۳ تعیین تماس بین سطوح (ماژول Interaction)
۶۴	۷.۲.۳ شرایط مرزی و بارگذاری (ماژول Load)
۶۶	۸.۲.۳ المانبندی (ماژول Mesh)
۶۹	۹.۲.۳ تحلیل فرآیند و گرفتن خروجی از نرم افزار (ماژول Job و Visualization)
۷۰	۳.۳ مشخصات اتصالات مدل شده در Abaqus
۷۹	<b>۴ فصل چهارم: بحث و بررسی نتایج</b>
۸۰	۱.۴ مقدمه
۸۰	۲.۴ تصدیق مدل
۸۲	۳.۴ رفتار نمونههای مدل شده
۹۶	۴.۴ مقایسه رفتار اتصالات مدل شده
۹۶	۱.۴.۴ تاثیر نیروی پیش تنیدگی
۹۷	۲.۴.۴ تاثیر ضخامت فلنجهای
۹۷	۳.۴.۴ تاثیر شعاع فلنجهای
۹۸	۴.۴.۴ تاثیر تعداد پیچ
۹۹	۵.۴.۴ تاثیر قطر پیچ
۱۰۰	۶.۴.۴ مقایسه اتصال endplat و pinfuse
۱۰۰	۷.۴.۴ مقایسه اتصال pinfuse و rbs
۱۰۱	۵.۴ میزان صلبیت اتصالات مدل شده
۱۰۳	<b>۵ فصل پنجم: نتایج و پیشنهادات</b>

۱۰۴ .....	۱.۵ نتیجه گیری
۱۰۵ .....	۲.۵ پیشنهادات
۱۰۶ .....	منابع و مراجع

## صفحه

## فهرست اشکال

..... ۴	شکل ۱-۱ : اتصال خمسمی رایج قبل از زلزله نرثربیج [۱]
..... ۵	شکل ۲-۱ : انواع آسیبهای تیر [۱]
..... ۶	شکل ۳-۱ : انواع آسیبهای ستون [۱]
..... ۶	شکل ۴-۱ : شکست بال ستون در طی زلزله نرثربیج [۱]
..... ۷	شکل ۵-۱ : انواع آسیبها جوش شیاری [۱]
..... ۸	شکل ۶-۱ : انواع آسیبها چشمۀ اتصال [۱]
..... ۸	شکل ۷-۱ : تقسیم ستون به دو قسمت با گسترش ترک در ناحیه چشمۀ اتصال [۱]
..... ۹	شکل ۸-۱ : شکست کامل اتصال تیر به ستون در طی زلزله نرثربیج [۱]
..... ۱۰	شکل ۹-۱ : مسیر واقعی تنش [۴]
..... ۱۱	شکل ۱۰-۱ : شکست جان ستون به دلیل ناحیه پانلی ضعیف [۱]
..... ۱۳	شکل ۱۱-۱ : انواع اتصال تقویت شده پس از زلزله نرثربیج [۱]
..... ۱۹	شکل ۱-۲ : اتصالات صلب تیر به ستون از نوع جوشی [۱۰]
..... ۲۰	شکل ۲-۲ : اتصالات صلب تیر به ستون از نوع پیچی [۱۰]
..... ۲۰	شکل ۳-۲ : اتصالات نیمه صلب تیر به ستون از نوع جوشی که تیر به ستون متصل شده است [۸]
..... ۲۲	شکل ۴-۲ : دو نوع اتصال ساده اجرایی [۱۱]
..... ۲۲	شکل ۵-۲ : برش لبه آزاد سخت کننده [۱۰ و ۱۲]
..... ۲۴	شکل ۶-۲ : انواع قاب با سختی اتصالات متفاوت [۸]
..... ۲۵	شکل ۷-۲ : اتصال با نبشی فوقانی و نشیمن [۱۱]
..... ۲۶	شکل ۸-۲ : اتصال نیمه صلب با نبشیمن و ورق فوقانی [۱۱]
..... ۲۸	شکل ۹-۲ : رفتار تیر و اتصال [۱۳]
..... ۲۸	شکل ۱۰-۲ : زیر سازه آنالیز شده [۱۳]
..... ۲۹	شکل ۱۱-۲ : فرضیات شرایط تکیه گاهی
..... ۳۰	شکل ۱۲-۲ : دیاگرامهای تغییرات لنگر برای حالات مختلف گیرداری تکیه گاه و بارگذاریها [۱۱]
..... ۳۱	شکل ۱۳-۲ : تیر منفرد با تکیه گاهی فنری [۱۴]
..... ۳۲	شکل ۱۴-۲ : تغییر شکل دورانی اتصال
..... ۳۳	شکل ۱۵-۲ : انواع منحنی لنگر - دوران
..... ۳۴	شکل ۱۶-۲ : منحنی لنگر - دوران برخی اتصالات رایج [۱۷]
..... ۳۵	شکل ۱۷-۲ : لنگر و دوران برای معادلات شبیب - افت (جهت مثبت لنگرهای) [۱۰ و ۱۲]
..... ۳۷	شکل ۱۸-۲ : منحنی لنگر - دوران و خطوط تیر [۱۹]
..... ۳۹	شکل ۱۹-۲ : تغییر مقدار لنگر با شرایط تکیه‌گاهی [۱۲ و ۱۹]

..... ۴۰	شکل ۲۰-۲: شکل ظاهری مجموعه پیچ
..... ۵۰	شکل ۲۱-۲: اتصال لغزشی با ورق برنجی- اتصال لغزنده خطی- اتصال لغزنده دورانی
..... ۵۱	شکل ۲۲-۲: اتصال لغزنده دورانی [۲۳]
..... ۵۳	شکل ۲۳-۲: اتصال pinfuse [۲۴]
..... ۵۸	شکل ۱-۳: مراحل انجام کار توسط آباقوس
..... ۵۹	شکل ۳-۳: اجزای پنجره اصلی برنامه آباقوس.
..... ۶۱	شکل ۴-۳: قطعات مدل شده در آباقوس
..... ۶۱	شکل ۵-۳: قطعات مدل شده در آباقوس
..... ۶۵	شکل ۶-۳: اعمال شرایط مرزی
..... ۶۵	شکل ۷-۳: شرایط تکیه گاهی نمونه
..... ۶۷	شکل ۸-۳: المانهای a) خطی b) غیرخطی
..... ۶۸	شکل ۹-۳: اعضای مش خورده
..... ۶۹	شکل ۱۰-۳: ایجاد یک job جدید
..... ۶۹	شکل ۱۱-۳: پنجره کامل شدن آنالیز
..... ۷۱	شکل ۱۲-۳: اتصال مدل con-01
..... ۷۲	شکل ۱۳-۳: اتصال مدل con-02
..... ۷۲	شکل ۱۴-۳: اتصال مدل con-03
..... ۷۳	شکل ۱۵-۳: اتصال مدل con-04
..... ۷۳	شکل ۱۶-۳: اتصال مدل con-05
..... ۷۴	شکل ۱۷-۳: اتصال مدل con-06
..... ۷۴	شکل ۱۸-۳: اتصال مدل con-07
..... ۷۵	شکل ۱۹-۳: اتصال مدل con-08
..... ۷۵	شکل ۲۰-۳: اتصال مدل con-09
..... ۷۶	شکل ۲۱-۳: اتصال مدل con-10
..... ۷۷	شکل ۲۲-۳: اتصال مدل con-11
..... ۷۷	شکل ۲۳-۳: اتصال مدل con-12
..... ۷۸	شکل ۲۴-۳: اتصال مدل con-13
..... ۷۸	شکل ۲۵-۳: اتصال مدل con-14
..... ۸۰	شکل ۱-۴: اتصال مورد بررسی توماس و همکاران [۲۷]
..... ۸۱	شکل ۲-۴: نمونه آزمایشگاهی [۲۷]
..... ۸۱	شکل ۳-۴: مقایسه نتایج آزمایشگاهی و نرم افزاری
..... ۸۲	شکل ۴-۴: نمودار لنگر-دوران مدل con-01
..... ۸۲	شکل ۴-۵: تنش(فونمیسز) برای مدل con-01

..... ۸۳	شکل ۶-۴: نمودار لنگر-دوران مدل con-02
..... ۸۳	..... ۷-۴: تنش(فون میسز) برای اتصال con-02
..... ۸۴	..... ۸-۴: نمودار لنگر- دوران مدل con-03
..... ۸۴	..... ۹-۴: تنش(فون میسز) برای اتصال con-03
..... ۸۵	..... ۱۰-۴: نمودار لنگر- دوران مدل con-04
..... ۸۵	..... ۱۱-۴: تنش(فون میسز) برای اتصال con-04
..... ۸۶	..... ۱۲-۴: نمودار لنگر- دوران اتصال con-05
..... ۸۶	..... ۱۳-۴: تنش(فون میسز) برای اتصال con-05
..... ۸۷	..... ۱۴-۴: نمودار لنگر دوران اتصال con-06
..... ۸۷	..... ۱۵-۴: تنش(فون میسز) برای اتصال con-06
..... ۸۸	..... ۱۶-۴: نمودار لنگر دوران اتصال con-07
..... ۸۸	..... ۱۷-۴: تنش(فون میسز) برای اتصال con-06
..... ۸۹	..... ۱۸-۴: نمودار لنگر دوران اتصال con-08
..... ۸۹	..... ۱۹-۴: تنش(فون میسز) برای اتصال con-07
..... ۹۰	..... ۲۰-۴: نمودار لنگر دوران اتصال con-09
..... ۹۰	..... ۲۱-۴: تنش(فون میسز) برای اتصال con-09
..... ۹۱	..... ۲۲-۴: نمودار لنگر دوران اتصال con-10
..... ۹۱	..... ۲۳-۴: تنش(فون میسز) برای اتصال con-10
..... ۹۲	..... ۲۴-۴: نمودار لنگر دوران اتصال con-11
..... ۹۲	..... ۲۵-۴: تنش(فون میسز) برای اتصال con-11
..... ۹۳	..... ۲۶-۴: نمودار لنگر- دوران مدل con-12
..... ۹۳	..... ۲۷-۴: تنش(فون میسز) برای اتصال con-12
..... ۹۴	..... ۲۸-۴: نمودار لنگر- دوران اتصال con-13
..... ۹۴	..... ۲۹-۴: تنش(فون میسز) برای اتصال con-13
..... ۹۵	..... ۳۰-۴: نمودار لنگر- دوران اتصال con-14
..... ۹۵	..... ۳۱-۴: تنش(فون میسز) برای اتصال con-14
..... ۹۶	..... ۳۲-۴: تاثیر نیروی پیش تنیدگی بر منحنی لنگر- دوران
..... ۹۷	..... ۳۳-۴: تاثیر ضخامت فلنچ بر نمودار لنگر-دوران
..... ۹۸	..... ۳۴-۴: تاثیر شعاع فلنجهای بر منحنی لنگر- دوران
..... ۹۹	..... ۳۵-۴: تاثیر تعداد پیچ بر منحنی لنگر- دوران
..... ۹۹	..... ۳۶-۴: تاثیر قطر پیچ بر منحنی لنگر-دوران
..... ۱۰۰	..... ۳۷-۴: مقایسه اتصال end plate pinfuse و rbs pinfuse
..... ۱۰۱	..... ۳۸-۴: مقایسه اتصال rbs و pinfuse

۱۰۲ ..... شکل ۳۹-۴: نمودار لنگر- دوران اتصال con-04 و خط تیر مربوطه.

صفحه

فهرست جداول

جدول ۱-۲: لنگر و دوران برای انواع مختلف بارگذاری و وضعیت تیر [۱۸و۱۹]	۳۸
جدول ۲-۲: مشخصات پیچ های تولید یا موجود در ایران [۵]	۴۴
جدول ۲-۳: حداقل نیروی پیش تنیدگی در اتصالات اصطکاکی [۵]	۴۵
جدول ۲-۴: ابعاد اسمی سوراخ پیچ بر حسب میلیمتر [۵]	۴۶
جدول ۲-۵: حداقل فاصله مرکز سوراخ استاندارد تا لبه در هر راستا [۵]	۴۷
جدول ۲-۶: مقادیر افزایش حداقل فاصله سوراخ تا لبه [۵]	۴۷
جدول ۳-۱: مقادیر تنش-کرنش پیچ بر مقاومت [۲۵]	۶۲
جدول ۳-۲: مقادیر تنش-کرنش st37 [۲۶]	۶۲
جدول ۳-۳: جزئیات نمونه ها	۷۰

## فهرست علائم

### علائم لاتین

ارتفاع	$h$
طول موج توربولانس	$L$
پریود توربولانس	$T$
سرعت تعادل وسیله پرنده	$U_0$
مولفه سرعت تندباد در راستای محور طولی دستگاه مختصات بدنی نسبت به اینرسی	$u_g^B$

### علائم یونانی

چگالی طیفی قدرت توربولانس	$\Phi(\omega)$
شدت توربولانس	$\sigma$
بسامد توربولانس	$\omega$
بسامد فاصله‌ای	$\Omega$

### بالانویس‌ها

دستگاه مختصات بدنی	$B$
زیرنویس‌ها	
تندباد (گاست)	$g$

۱

## فصل اول

### مقدمه

## ۱.۱ مقدمه

ضوابط موجود در آئین نامه زلزله ایران، هدف از طراحی لرزمای ساختمان‌ها را به صورت زیر بیان می‌دارد:

۱- زلزله با شدت کم را بدون خسارت تحمل کنند، از یک سازه انتظار می‌رود که این تحریک‌های کوچک را که در طول عمر سازه به دفعات اتفاق می‌افتد، به صورت ارتقای و بدون ایجاد تسلیم تحمل کند.

۲- زلزله‌های با شدت متوسط را با ایجاد خسارات بسیار جزیی سازه‌ای و مقداری خسارات غیرسازه‌ای تحمل نمایند که با طرح و اجرای مناسب، انتظار می‌رود که خسارات سازه‌ای در این محدوده قابل تعمیر باشد.

۳- زلزله‌های شدید را بدون فروریزی (Collapse) تحمل کنند و تلفات جانی نداشته باشند. که با ساختمان‌های با اهمیت زیاد علاوه بر ایستایی در سطح بهره‌برداری خود نیز قرار داشته باشند. برای رسیدن به این هدف یکی از اصولی که در آئین نامه‌های طراحی لرزمای سازه‌ها وجود دارد، استفاده از اشکال، سیستم‌ها و موادی که از رفتار شکل‌پذیر برخوردار می‌باشند.

در واقعیت سازه‌های شکل‌پذیرتر تحت زلزله‌ای قرار خواهند گرفت که از حد مقاومت الاستیک آنها بیشتر است [۱].

در دهه ۱۹۶۰ مهندسین سازه به این باور رسیدند که سیستم قاب مقاوم خمشی فولادی با اتصالات جوشی، (Steel Moment Resisting Frame) در ردیه یکی از شکل‌پذیرترین سیستم‌های سازه‌ای قرار دارد. بسیاری از مهندسین سازه بر این باور بودند که قاب‌های خمشی فولادی اصولاً در مقابل زلزله‌ها حساس نمی‌باشند و فروریزشی در آنها رخ نمی‌دهد و اگر خسارت سازه‌ای رخ دهد، محدود به جاری شدن اعضای قاب بوده و اتصالات آن به صورت الاستیک باقی می‌مانند به واسطه همین تفکر در آن سالها، سازه‌های صنعتی، آموزشی و تجاری بزرگی که سیستم آنها قاب خمشی فولادی با اتصالات جوشی بود در غرب ایالات متحده بنا گردید.

با وقوع زلزله نرتريج در ۱۷ ژانویه سال ۱۹۹۴ اين ايده و تفکر کاملاً عوض شد. بعد از وقوع اين زلزله بسياري از ساختمانها که سيسitem سازه اي آنها از قاب مقاوم خمشي فولادي بود، دچار شکست ترد در ناحيه اتصال تير به ستون شدند. ساختمانهاي مذكور بين ۱ تا ۲۶ طبقه و عمری حداکثر تا ۳۰ سال داشتند. حتی ساختمانهاي که در زمان زلزله در حال احداث بودند نيز دچار اينگونه خسارات شده بودند. سازهها در مناطقی که حرکت زمين در آنجا شدید بود، بيشترین خسارات سازه اي را متحمل شده بودند و حتی در مناطقی که حرکت زمين در حد متوسط بود، خسارات سازه اي شدیدی مشاهده می شد [۱].

شکست ترد اتصال تير به ستون در اثر اين زلزله، يك زنگ خطر برای مهندسين به حساب می آمد. همچنین اين موضوع باعث نگرانی در مورد خسارات احتمالي وارد به سازههايی که در مناطق ديگر و تحت زلزله‌هاي قدیمي‌تری واقع شده بودند، گشت. در زلزله نرتريج سازهها بگونه‌اي که از قبل در طراحی‌ها پيش‌بینی شده بودند، رفتار نکردن. خسارات وارد به اتصالات، حتی در سازههايی که نيريوي لرزه‌اي وارد به آنها کوچکتر از نيريوي طراحی بود مشاهده می شد [۱].

## ۲.۱ قابهای مقاوم خمشی فولادی

قاب مقاوم خمشي فولادي، سيسitemi می‌باشد که اتصالات بين تير و ستون آن بگونه اي طراحی می‌شوند که انرژي زيادي تلف نمايند و كمک اساسی به شكل‌پذيری سيسitem کنند. ساختمانهاي با قاب مقاوم خمشي فولادي، به گونه‌اي طراحی می‌شوند که بتوانند در برابر لرزش زمين، با فرض انجام تغيير شکلهای پلاستيك بزرگ، مقاومت کنند و زوال مقاومت خمشي نداشته باشند. تغيير شکلهای پلاستيك شامل دوران پلاستيك در تيرها و در ناحيه اتصال تير به ستون می‌باشد که باید قادر به اتلاف انرژي زلزله که به سازه وارد می‌شود، باشند. خسارات سازه‌اي نيز باید بصورت جاري شدن و کماش موضعی اعضای سازه و نه از طریق شکست ترد اتصال و اعضاء سازه باشند.

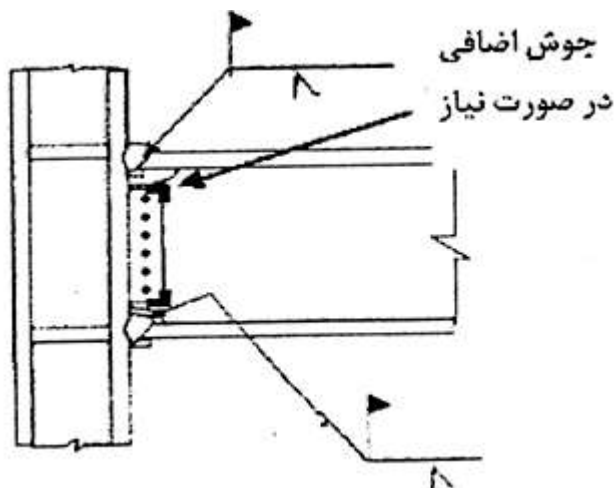
بر اساس همین اصل، آيین‌نامه‌های طراحی اجازه می‌دهند که قابهای خمشي فولادي، با مقاومتی کمتراز مقاومت حد الاستيک خود در مقابل زلزله‌های طرح، طراحی شوند.

فرض اساسی در قاب‌های مقاوم خمشي فولادي اين است که شكل‌پذيری اين سيسitemها از طریق جاري شدن ناحيه اتصال تير به ستون تامين شود. جاري شدن اين ناحيه ممکن است از طریق بوجود آمدن

مفصل پلاستیک در تیرها (یا در ستون‌ها که مطلوب نمی‌باشد) یا از طریق جاری شدن برشی (Shear Yielding) ناحیه چشمی اتصال تیر به ستون و یا ترکیبی از حالات فوق اتفاق بیافتد.

### ۳.۱ اتصال مقاوم خمشی رایج قبل از زلزله نرثربیج ۱۹۹۴

بر اساس آئین‌نامه UBC1988، در اتصال مقاوم خمشی رایج قبل از زلزله نرثربیج، برای اتصال بال تیر به ستون باید از جوش شیاری با نفوذ کامل (Complete Joint Penetration Groove weld) استفاده شده و جان تیر از طریق صفحه برشگیر (Shear Tab) پیچی به همراه جوش اضافی (در صورت نیاز بر اساس ابعاد عضو) به ستون متصل شود (شکل ۱-۱).



شکل ۱-۱: اتصال خمشی رایج قبل از زلزله نرثربیج [۱]

فرض اساسی در مورد این اتصالات این بود که می‌توانند دوران‌های پلاستیک تا ۲۰٪ رادیان و بزرگتر را بدون زوال در مقاومت خمشی تحمل کنند، ولی بررسی‌های بعدی نشان داد که بر خلاف این فرض، در بسیاری از حالات شکست ترد در مراحل اولیه از تغییر شکلهای پلاستیک و حتی در بعضی از حالات دیگر، در مراحل تغییر شکلهای الاستیک اتفاق افتاده بود [۱].

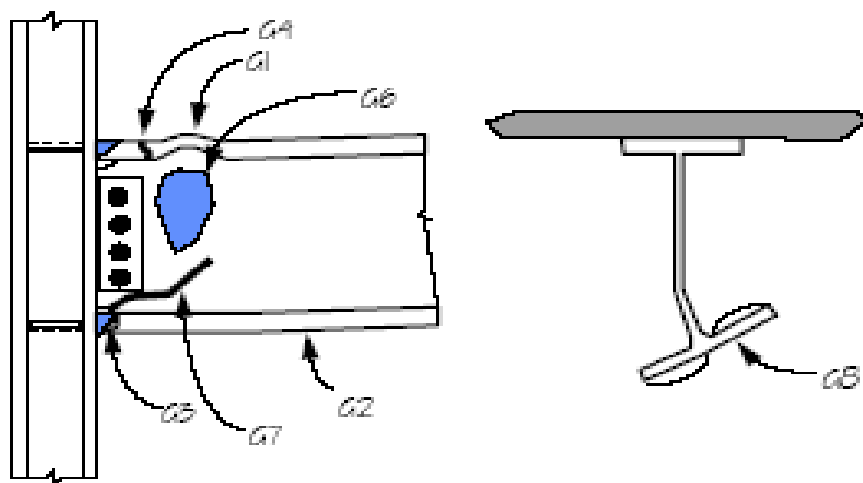
### ۴.۱ آسیب‌های ایجاد شده در اتصالات گیردار زلزله نرثربیج

با اینکه در زلزله نرثربیج هیچ سازه‌ای دچار فروریزش نشد، ولی دربیش از ۲۰۰ ساختمان بلند مرتبه

اتصالات خمشی دچار شکست ترد شدند. آسیب‌های واردہ به المانهای قاب‌های خمشی فولادی بصورت آسیب‌های مربوط به تیر، ستون، جوش، ورق اتصال و چشمۀ اتصال طبقه‌بندی می‌شوند که مشاهده وسیع اینگونه آسیب‌ها در اتصالات علیرغم آسیب‌های جدی در اجزای غیر سازه‌ای هشدار دهنده بود که چند مورد از آنها مورد بررسی قرار می‌گیرد

#### ۱.۴.۱ آسیب‌های تیر

آسیب‌دیدگی تیر ممکن است شامل کمانش بال (G1)، تسليیم بال (G2)، شکست بال در ناحیۀ Heat Affected zone (HAZ) (G3,G4) و یا خارج از آن (G5)، شکست بال (G6) یا کمانش جان (G7) شکست جان (G8) و یا کمانش جانبی مقطع تیر (G9) باشد [۲] (شکل ۲-۱). با وجود اینکه تعدادی از آسیب‌های مربوط به تیر در بال فوکانی گزارش شده‌اند ولی اغلب آسیب‌های تیر در زلزله نرتیج در ریشه جوش شیاری بال تحتانی تیر به ستون اتفاق افتاده و در مسیرهای متفاوتی انتشار یافته‌اند [۳].

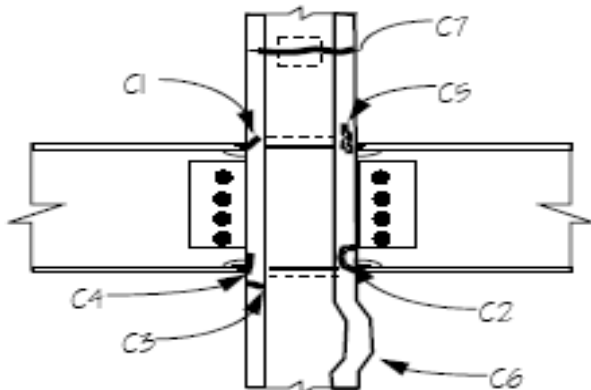


شکل ۲-۱: انواع آسیب‌های تیر [۱]

#### ۲.۴.۱ آسیب‌های ستون

آسیب‌های گزارش شده در ستون علاوه بر اینکه مقاومت سازه را در برابر بارهای ثقلی کاهش می‌دهد. سازه را در تحمل بارهای جانبی ضعیف می‌کند. آسیب‌های ستون شامل ترک بال (C1)، قلوه‌کن شدن

بال (C2)، ترک در داخل یا خارج از ناحیه HAZ (C3,C4)، پارگی لایه‌ای بال (C5)، کمانش بال (C6) و زوال وصله ستون (C7) در شکل (۳-۱) نشان داده شده است. در شکل (۴-۱) تصویری از شکست بال ستون در طی زلزله نرثربیج مشاهده می‌شود.



شکل ۳-۱ : انواع آسیب‌های ستون [۱]

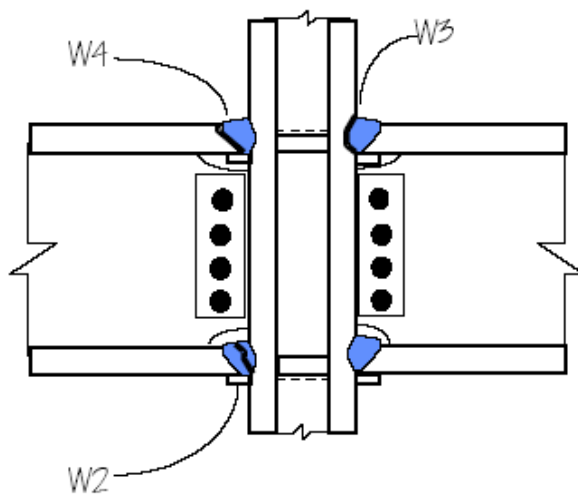


شکل ۴-۱ : شکست بال ستون در طی زلزله نرثربیج [۱]

### ۳.۴.۱ آسیب‌های مربوط به جوش شیاری و چشمۀ اتصال

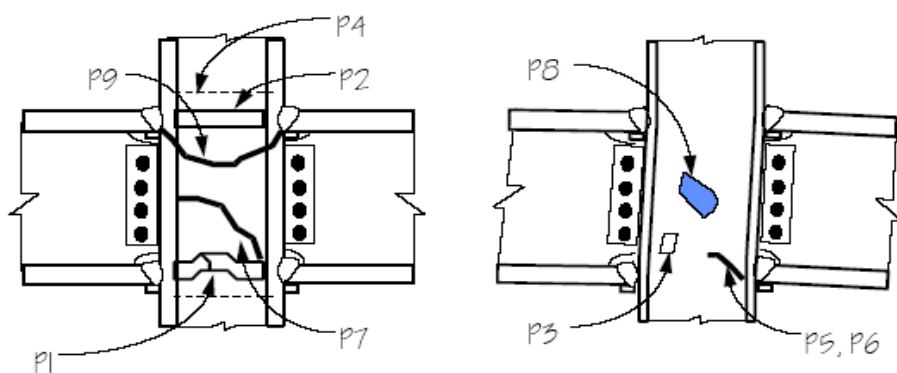
آسیب‌های جوش شامل قطع شدگی و نقص در ریشه جوش، (W1)، ترک در ریشه جوش (W2)، شکست در وجه ستون (W3)، شکست در وجه جوش (W2)، شکست در وجه تیر (W4)، که در شکل

(۱-۵) نشان داده شده است. ملاحظه می‌شود که مراحل مختلف جوشکاری در فرآیند جوش بسیار مؤثر می‌باشند. در اغلب حالات شروع شکست ترد، در ناحیه جوش نفوذی کامل، که بال پایین تیر را به بال ستون متصل می‌کرد، اتفاق افتاده بود و بعد از تشکیل ترک در این ناحیه، با توجه به شرایط اتصال، در چند جهت پیشرفت می‌کرد(شکل ۱-۵).



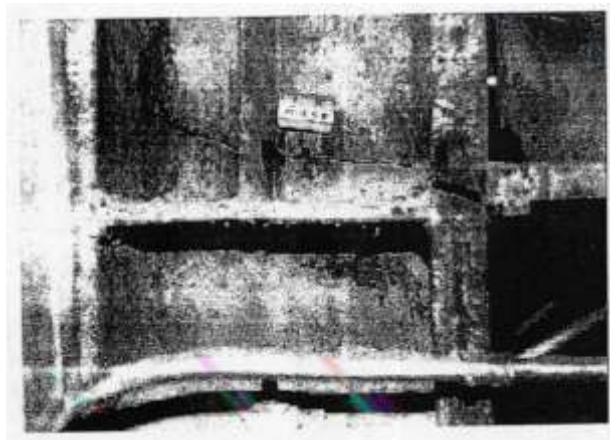
شکل ۱-۵: انواع آسیب‌های جوش شیاری [۱]

آسیب‌های مربوط به چشمۀ اتصال عبارتنداز: شکست، کمانش یا تسلیم ورق پیوستگی (p1)، شکست جوش ورق پیوستگی (p2)، تسلیم جان (p3)، شکست جوش ورق تقویتی جان (p4)، شکست جزیی عمقی ورق تقویتی جان (p5)، شکست جزیی عمقی جان (p6)، شکست کامل یا نزدیک به کامل جان یا ورق تقویتی جان (p7)، کمانش جان ستون در ناحیه چشمۀ اتصال (p8)، انفصال ستون (p9) (شکل ۱-۶).



شکل ۱-۶: انواع آسیب‌های چشم‌های اتصال [۱]

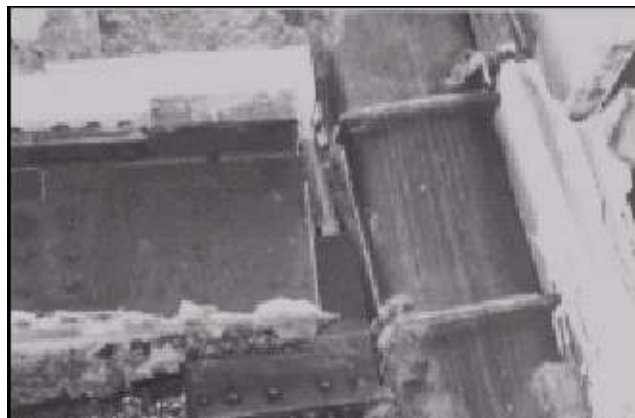
در بعضی از حالات، ترک ناشی از شکست ترد، کاملاً وارد ناحیه چشم‌های اتصال ستون می‌شدند و ستون را در بعضی از حالات به دو قسمت تقسیم می‌کردند [۱] (شکل ۱-۷).



شکل ۱-۷: تقسیم ستون به دو قسمت با گسترش ترک در ناحیه  
چشم‌های اتصال [۱]

زمانی که اینگونه ترک‌ها اتفاق می‌افتد، ناحیه اتصال تیر به ستون دچار زوال شدید سختی خمشی و مقاومت برای تحمل بارها می‌شود و بارها از طریق بال بالایی و جان تیر منتقل می‌شوند. حتی در این میان جان تیر نیز ممکن است دچار شکست شود.

در شکل (۸-۱) تصویری از شکست کامل اتصال تیر به ستون در طی زلزله نرتریج مشاهده می‌شود.



شکل ۸-۱ : شکست کامل اتصال تیر به ستون در طی زلزله نرتریج [۱]

## ۵.۱ علل وقوع شکست در اتصالات خمشی رایج، قبل از زلزله نرتریج

پس از بررسی‌ها و آزمایشات فراوان، مشخص گردید که، جزیياتی که در مورد اتصال مقاوم خمشی رایج قبل از زلزله نرتریج استفاده می‌شده است، دارای کاستی‌هایی بود که باعث وقوع شکست ترد در این اتصال شده است.

مهمنترین این کاستی‌ها عبارتند از:

۱) شدیدترین تنש‌ها دقیقاً در محل اتصال تیر به ستون اتفاق می‌افتد که متأسفانه این ناحیه ضعیفترین بخش اتصال می‌باشد.

۲) اتصال بال پایینی تیر به بال ستون معمولاً از طریق جوش سرپایینی و با نشستن جوشکار بر روی بال فوقانی تیر صورت می‌گرفته است. در این وضعیت، در هر پاس با رسیدن جوش به جان تیرآهن، جوشکار مجبور به قطع جوش و ادامه دادن آن از سمت دیگر جان می‌باشد، که این نحوه جوشکاری معمولاً باعث کیفیت پایین جوش می‌شود که خود عاملی برای ترک خوردن است.

۳) هندسه و ترکیب اتصال خود عاملی در جهت تولید اشکالاتی در ریشه جوش نفوذی بال بود. از جمله آنها می‌توان به وجود تسمه پشت‌بند اشاره کرد. که بعد از جوشکاری در محل باقی می‌ماند و بررسی چشمی ریشه جوش نفوذی را غیر ممکن می‌ساخت. تنها راه ممکن برای کنترل جوش، انجام آزمایشات التراسونیک بود که باز هم به دلیل هندسه نادرست اتصال در محل اتصال جان تیر به بال آن، بسیار